

03; 12

**ОСОБЕННОСТИ ВЗАИМОДЕЙСТВИЯ  
ИМПУЛЬСНОГО ЛАЗЕРНОГО ИЗЛУЧЕНИЯ  
НА  $\lambda=1.06$  мкм С ЭЛЕКТРО-  
И СВЕТОУПРАВЛЯЕМЫМИ ЖИДКОКРИСТАЛЛИЧЕСКИМИ  
МОДУЛЯТОРАМИ**

*M. A. Грознов, B. C. Мыльников, H. I. Плетнева*

Исследовано изменение контрастно-временных характеристик модулятора света типа халькогенидный стеклообразный полупроводник—жидкий кристалл (ХСП—ЖК) под действием рабочих значений плотностей энергии считывающего импульсного излучения лазера на АИГ: Nd<sup>3+</sup>. Основными причинами изменения характеристик являются нагрев жидкого кристалла благодаря поглощению излучения фоточувствительным слоем и проводящими электродами и фотогенерации носителей заряда в ХСП, приводящая, в частности, к ограничению реверсивности ПВМС на уровне нескольких герц. Характерные времена отклика модулятора не превосходят 1 мс при нагреве и 1 с при фотогенерации.

### Введение

Целью данной работы было исследование лучевых стойкостей и основных причин изменения контрастно-временных характеристик электро- и светоуправляемых жидкокристаллических ПВМС [1–6] под действием импульсного излучения на длине волны  $\lambda=1.06$  мкм при длительностях импульсов генерации  $\tau_I=20$  нс и  $\tau_{II}=100$  мкс.

### Объекты исследования и техника эксперимента

В качестве электроуправляемых ПВМС использовались ЖК ячейки на *S*- и *T*-эффектах толщиной 2–3 мкм. Они представляли собой планарно ориентированный жидкий кристалл (смесь цианобифенилов с  $\Delta\epsilon=12$ ,  $\Delta n=0.22$ ,  $\Delta T=-0-59$  °C [7], заключенный между стеклянными подложками с ориентирующими покрытиями из GeO и прозрачными электродами из In<sub>2</sub>O<sub>3</sub> (10 % SnO<sub>2</sub>), к которым прикладывалось постоянное управляющее напряжение. Светоуправляемые ПВМС (на *T*-эффекте) состояли из пленки халькогенидного стеклообразного полупроводника (ХСП) As<sub>10</sub>Se<sub>90</sub> толщиной 2 мкм и жидкого кристалла (аналогичного описанному выше) толщиной 2–3 мкм. Все исследуемые образцы располагались между скрещенными поляризаторами.

В качестве источника воздействующего излучения на  $\lambda=1.06$  мкм использовался лазер на АИГ: Nd<sup>3+</sup>, частоту *F*, следования импульсов и плотность энергии *W* генерации которого можно было изменять соответственно от 1 до 20 Гц и от 10<sup>-2</sup> до 40 Дж/см<sup>2</sup>. Излучение фокусировалось на исследуемые образцы и имело площадь пятна *S* от 10<sup>-1</sup> до 10<sup>-4</sup> см<sup>2</sup>. Электрооптические и временные характеристики ПВМС (при изменении *W* и  $\tau$ ) определялись с помощью калиброванного фотоприемника, который располагался за выходным поляризатором (анализатором) и регистрировал изменение величины пропускания модулятора на  $\lambda=0.63$  мкм (считывающее излучение Не—Не лазера).

## Экспериментальные результаты

Результаты измерения лучевых стойкостей различных слоев, входящих в состав ХСП-ЖК модуляторов, представлены на рис. 1. Эксперименты показали, что лучевые стойкости, определяемые порогом оптического разрушения (ОР), составляли для различных элементов от 0.5 (для ХСП) до 7 Дж/см<sup>2</sup> (для

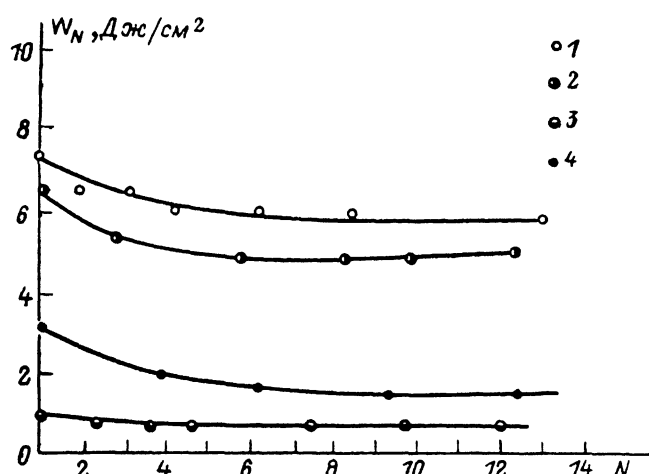


Рис. 1. Зависимость порога разрушения  $W_N$  от количества импульсов излучения  $N$  для ХСП-ЖК модулятора при  $S = 5 \cdot 10^{-3}$  см<sup>2</sup>,  $\tau = 20$  нс.

1 — электроды, 2 — ориентант на электроде, 3 — фотополупроводник, 4 — ХСП-ЖК модулятор.

прозрачных электродов с ориентантами), при этом величины  $W_N$  практически не менялись для  $N \geq 10$ . На рис. 2 приведена зависимость порога оптического разрушения жидкокристаллических ячеек от количества  $N$ , частоты  $F_N$  и плотности энергии  $W$  импульсов генерации. Пороги разрушения ЖК ячеек без электродов (присутствует только ориентант GeO) были в 3 раза выше, чем ячеек с электродами, причем при росте  $F_N$  с 10 до 20 Гц разрушение происходило при меньшем (в ~4 раза) количестве импульсов. В экспериментах наблюдалась близость значений порогов ОР для прозрачных проводящих покрытий (нанесенных на подложки К-8) и ЖК ячеек. Обнаружено, что пороги ОР для ЖК ячеек уменьшаются в 2 раза при увеличении частоты следования импульсов генерации с 1 до 20 Гц и возрастают в 2.5 раза при уменьшении площади элемента сканирования  $S$  с  $5 \cdot 10^{-3}$  до  $2 \cdot 10^{-4}$  см<sup>2</sup>.

Согласно [8], под действием больших интенсивностей света в ЖК ячейке должна происходить по-

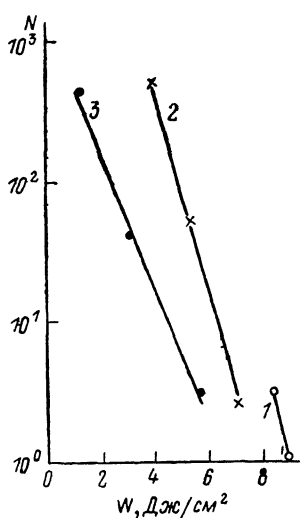


Рис. 2. Зависимость порога разрушения  $W_N$  жидкокристаллических ячеек от  $W$ ,  $F_N$  и  $N$ .

$F_N$ , Гц: 1 — 1, 2 — 10, 3 — 20.  $S = 2 \cdot 10^{-3}$  см<sup>2</sup>,  $\tau = 20$  нс.

роговая переориентация молекул жидкого кристалла при неадиабатических деформациях, названная светоиндуцированным переходом Фредерикса (СПФ). Однако в проведенных экспериментах СПФ не наблюдался вплоть до интенсивностей, соответствующих порогу разрушения электродов и ориентантов ( $I \leq 0.3$  ГВт/см<sup>2</sup>).

Характерные временные зависимости изменения пропускания  $T$  светоуправляемого ПВМС при воздействии одиночного импульса света с длительностью

$\tau_I$  и  $\tau_{II}$  представлены соответственно на рис. 3, а, б. Будем называть оптическим откликом процесс изменения  $T$  модулятора под действием излучения на  $\lambda = 1.06 \text{ мкм}$ , приводящий к появлению одного из экстремумов (минимумов) в динамике пропускания ПВМС. Как видно из рис. 3, наблюдается два вида откликов (1 и 2):

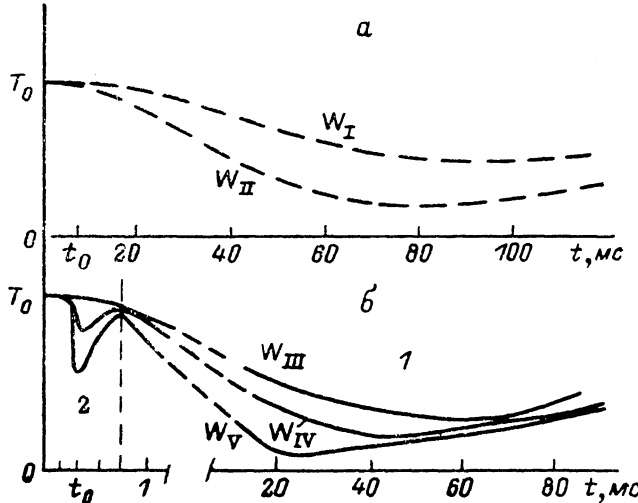


Рис. 3. Динамика пропускания ПВМС под действием одиночного импульса генерации с плотностью энергии  $W$  ( $W_I < W_{II} < W_{III}, W_{IV} < W_V$ ), приходящего в момент времени  $t_0$ .

Пунктир —  $\tau = \tau_I$ , сплошные кривые —  $\tau = \tau_{II}$ ;  $T_0$  — начальное пропускание ПВМС;  $S = 10^{-1} \text{ см}^2$ .

На рис. 4 приведена зависимость контраста  $K$  модулятора от плотности энергии  $W$  воздействующего импульсного излучения. Максимальный контраст вычислялся из соотношения

$$K_m = T_0/T_m, \quad (1)$$

где  $m=1, 2$  — номера откликов;  $T_0$  и  $T_m$  — соответственно начальное и минимальное пропускание ПВМС (рис. 1).

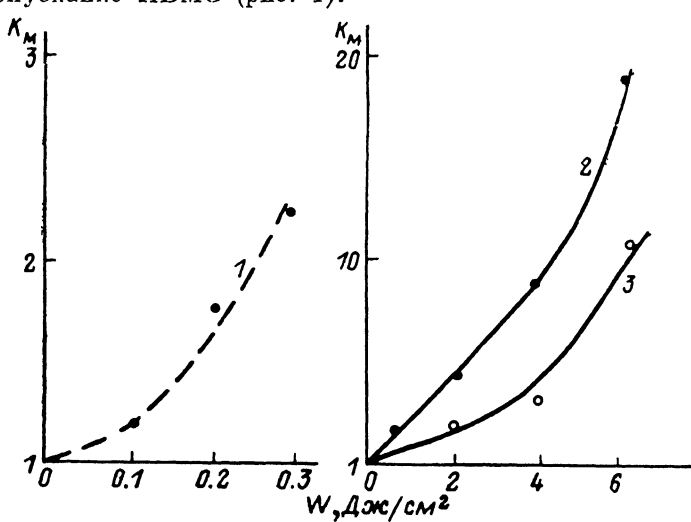


Рис. 4. Зависимость  $K_1$  (1, 2) и  $K_2$  (3) от  $W$ .

Пунктир —  $\tau = \tau_I$ , сплошная кривая —  $\tau = \tau_{II}$ .

Эксперименты показали, что рабочие значения  $W_p$  (т. е. не вызывающие необратимой деградации слоев ПВМС) составили менее 3 Дж/см<sup>2</sup> в режиме свободной генерации и около 0.2 Дж/см<sup>2</sup> в моноимпульсном режиме работы.

лазера на АИГ:  $Nd^{3+}$ . При данных плотностях энергий наработка на частоте в 1 Гц в сериях по 100–200 импульсов не приводила к появлению необратимых изменений в характеристиках модулятора. Полученные значения рабочих плотностей энергий  $W_p$  в ~5 раз лучше, чем аналогичные значения, достигнутые при работе с ПВМС с фоточувствительным слоем  $As_{20}Se_{80}$  [4, 6]. Порог оптического разрушения  $As_{10}Se_{90}$ –ЖК за 1 импульс с вероятностью 50 % происходил при  $W \approx 3$  Дж/см<sup>2</sup> для  $\tau = \tau_I$  и при  $W \approx 8$  Дж/см<sup>2</sup> для  $\tau = \tau_{II}$ .

На рис. 5 представлена зависимость времен включения и выключения модулятора, соответствующих оптическому отклику 1, от плотности энергии на  $\lambda = 1.06$  мкм. Под временем включения или выключения  $t_{вкл}, t_{выкл}$  понималось время, в течение которого контраст ПВМС увеличивался от  $K=1$  до  $K=0.9 K_m$  или соответственно уменьшался от  $K=K_m$  до  $K=0.1 K_m$  его экстремальных значений. Для оптического отклика 2 длительность импульса свободной генерации определяла его время включения. При этом время выключения отклика составляло 100–300 мкс.

### Анализ полученных результатов

Дополнительные исследования показали, что спектры пропускания  $T = T(\lambda)$  для различных слоев, входящих в состав ПВМС, с точностью до френелевских потерь на стеклянных подложках составляют не менее 80–95 % на  $\lambda = 1.06$  мкм, причем имеется явно выраженный рост  $T(\lambda)$  при увеличении  $\lambda$  от 0.3 до 1.1 мкм. Наиболее низкой лучевой стойкостью на  $\lambda = 1.06$  мкм обладает, как и можно было ожидать [9], фоточувствительный слой ~0.5 Дж/см<sup>2</sup>, что ограничивает возможный диапазон применений ПВМС на основе ХСП (рис. 1).

В проведенных экспериментах наблюдалась близость порогов ОР для прозрачных проводящих покрытий (нанесенных для исследования на подложки из стекла  $K=8$ ) и ЖК ячеек, что свидетельствует об определяющей роли  $In_2O_3$  (10 %  $SnO_2$ ) в величине лучевой стойкости электроуправляемых ПВМС. Подтверждением вышеизложенного является расчет (выполненный без учета теплоотвода за время действия импульса излучения и в предположении однородного по рабочей апертуре ячейки поглощения) величины ОР электродов  $W_1^T$ , происходящего за счет лазерного нагрева, результаты которого сравнимы с экспериментальными данными (рис. 2)

$$W_1^T = \frac{1}{\kappa a} \left( \frac{E}{S} \right) = \frac{c_p T^0}{\kappa} \geqslant 10 \text{ Дж/см}^2, \quad (2)$$

где  $c = 0.73 \cdot 10^3$  Дж/град·кг — теплоемкость;  $\kappa = 100 \text{ см}^{-1}$  — коэффициент поглощения;  $\rho \approx 3 \cdot 10^3 \text{ кг/м}^3$  — удельная плотность и  $a = 0.1$  мкм — толщина электрода;  $T \geqslant 500^\circ\text{C}$  — температура, при которой происходят необратимые изменения в  $In_2O_3$  (10 %  $SnO_2$ );  $E$  — поглощенная электродом энергия.

Для теоретической оценки пороговой интенсивности  $I_{\text{пор}}$ , вызывающей СПФ в тонких ( $d = 2$ –5 мкм) ЖК ячейках, была использована выведенная в [10] формула

$$T_{\text{пор}} = \frac{1555 \cdot V}{n_{\parallel}^2 - n_{\perp}^2} n_{\parallel} K_{22} \left( \frac{n_{\parallel} - n_{\perp}}{\lambda} \right)^4 d^2 \simeq 3 - 15 \frac{\text{МВт}}{\text{см}^2}, \quad (3)$$

где  $V = 3 \cdot 10^8 \text{ м/с}$  — скорость света,  $n_{\parallel} = 1.62$  и  $n_{\perp} = 1.44$  — соответственно для  $\lambda = 1.06$  мкм показатели преломления в направлении вдоль и перпендикулярно директору,  $K_{22} \simeq 5 \cdot 10^{-12} \text{ Н}$  — константа упругости.

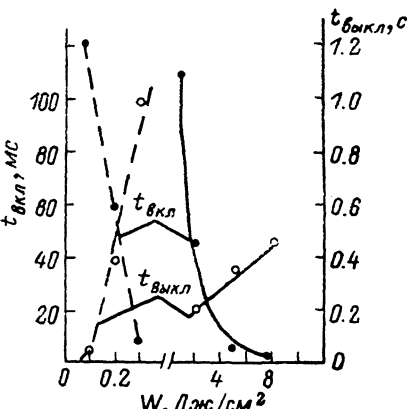


Рис. 5. Зависимость  $t_{\text{вкл}}$  и  $t_{\text{выкл}}$  от  $W$  для отклика I.

Пунктир —  $\tau = \tau_I$ , сплошная кривая —  $\tau = \tau_{II}$ .

Однако в проведенных экспериментах СПФ не наблюдался вплоть до интенсивностей  $I \leq 0.3$  ГВт/см<sup>2</sup>, поэтому теоретическую формулу (3) не следует использовать для оценки порога СПФ в тонких ЖК ячейках, хотя для рассматриваемого выше случая было выполнено необходимое условие применимости этой формулы [10].

$$d > \lambda / 6.3 \cdot (n_{\parallel} - n_{\perp}). \quad (4)$$

На основании анализа контрастно-временных характеристик ХСП-ЖК модуляторов можно утверждать, что появление отклика 1 вызвано фотогенерацией носителей заряда в ХСП (за время действия импульсного излучения), которая приводила к перераспределению напряжения в сэндвиче ПВМС в сторону его увеличения на ЖК. При этом заметное изменение величины контраста  $K_1$  наблюдается при довольно больших экспозициях излучения на  $\lambda = 1.06$  мкм, например,  $K_1 = 2$  при  $W \approx 0.2$  Дж/см<sup>2</sup> (рис. 4). Это связано с тем, что область максимальной фоточувствительности ХСП соответствует  $\lambda = 450 - 550$  мкм, а при переходе в более длинноволновую область спектра происходит резкое уменьшение величины квантового выхода этого фоточувствительного слоя [11]. Уменьшение  $t_{\text{вкл}}$  и увеличение  $t_{\text{выкл}}$  с ростом  $W$  (рис. 5) отражают процесс увеличения количества фотогенерируемых носителей заряда, благодаря которым осуществляется модуляция ЖК.

Отклик 2 появлялся только во время действия на ПВМС импульса свободной генерации ( $\tau \approx 100$  мкс) и был обусловлен нагревом ЖК при поглощении излучения фоточувствительным слоем и проводящими покрытиями. Подобные устройства (нагреваемый элемент — жидккий кристалл) широко используются в качестве визуализаторов инфракрасного излучения [5] и селективных зеркал, работающих на принципе изменения шага спирали холестерического ЖК при нагревании [12]. Поптврждением вышеизложенного механизма появления отклика 2 является совпадение временных  $(t_{\text{вкл}} = 100$  мкс и  $t_{\text{выкл}} = 300$  мкс) характеристик этого отклика с характерными временами тепловой релаксации  $t_p^T$  жидкого кристалла [12]

$$t_p^T \approx d_0^2/k \approx 40 - 100 \text{ мкс}, \quad (5)$$

где  $d_0 = 4 \cdot 10^{-6}$  м — общая толщина ХСП и ЖК слоев,  $k = 1 - 10^{-7}$  м<sup>2</sup>/с — коэффициенты температуропроводности для жидкокристаллических [13] и стеклообразных материалов [14]. Различие экспериментальных и теоретических значений связано с необходимостью учета при расчетах различных температуропроводностей и толщин ХСП и ЖК слоев, а также геометрического размера освещаемой зоны ПВМС.

Исследования проводились с учетом возможностистыковки ПВМС с усилителями яркости для создания гибридных устройств [15, 16]. На основании результатов работы [11], где были измерены спектральные и люкс-амперные характеристики фоточувствительных слоев As<sub>48</sub>Se<sub>52</sub>, As<sub>20</sub>Se<sub>80</sub>, As<sub>10</sub>Se<sub>90</sub> и As<sub>5</sub>Se<sub>95</sub>, выбор был остановлен на As<sub>10</sub>Se<sub>90</sub>. Согласно [15, 16], входная чувствительность усилителя яркости соответствует  $\sim 10^{-9}$  Вт/см<sup>2</sup>; максимальные рабочие значения интенсивностей воздействующего на ХСП-ЖК модулятора излучения на  $\lambda = 1.06$  мкм составляют

$$\begin{aligned} I_1 &= \frac{W_I^p}{\tau_I} = \frac{0.2 \text{ Дж/см}^2}{20 \text{ мкс}} \approx 10^7 \text{ Вт/см}^2 \quad \text{при } \tau = \tau_I, \\ I_2 &= \frac{W_{II}^p}{\tau_{II}} = \frac{3 \text{ Дж/см}^2}{100 \text{ мкс}} = 3 \cdot 10^4 \text{ Вт/см}^2 \quad \text{при } \tau = \tau_{II}. \end{aligned} \quad (6)$$

Поэтому коэффициенты усиления по яркости гибридного устройства, считывание с которого будет осуществляться излучением лазера на АИГ: Nd<sup>3+</sup>, составят  $10^{13}$  и  $10^{14}$  соответственно при работе лазера в режимах свободной генерации и модулированной добротности. Полученные значения на несколько порядков (3—6) выше максимальных коэффициентов усиления, которые были достигнуты при непрерывном считывании [15].

## Выводы

1. Замена ХСП с  $\text{As}_{20}\text{Se}_{80}$  на  $\text{As}_{10}\text{Se}_{90}$  (последний имеет меньшую фоточувствительность в ближней ИК области) позволяет почти в 5 раз повысить рабочие значения считывающего излучения на  $\lambda=1.06 \text{ мкм}$ , что составляет для режима свободной генерации ( $\tau=100 \text{ мкс}$ ) 3 Дж/см<sup>2</sup> и для режима модулированной добротности ( $\tau=20 \text{ нс}$ ) 0.2 Дж/см<sup>2</sup>. Импульсное считывание с гибридных устройств, в которых используется ХСП—ЖК модулятор, позволяет увеличить на 3–6 порядков коэффициент усиления по яркости (читываемых с этих устройств изображений) по сравнению с традиционным непрерывным считыванием.

2. Для ЖК ячеек при  $\tau=20 \text{ нс}$  установлено, что пороги оптического разрушения ячеек уменьшаются в 2 раза при увеличении частоты следования импульсов генерации с 1 до 20 Гц и возрастают в 2.5 раза при уменьшении элемента сканирования с  $5 \cdot 10^{-3}$  до  $2 \cdot 10^{-4} \text{ см}^2$ . Самым легкоразрушимым слоем в электроприводимых ПВМС являются прозрачные электроды.

3. Основными причинами изменения контрастно-временных характеристик модулятора под действием импульсного излучения являются нагрев жидкого кристалла благодаря поглощению излучения ХСП и проводящими электродами и фотогенерация носителей заряда в  $\text{As}_{10}\text{Se}_{90}$ , приводящая, в частности, к ограничению реверсивности ПВМС на уровне нескольких герц. Характерные времена изменения характеристик модулятора под действием нагрева и фотогенерации не превосходят соответственно 1 мс и 1 с.

Авторы благодарны Л. Н. Сомсу и А. П. Онохову за ценные замечания, высказанные ими при просмотре рукописи.

## Литература

- [1] Сихарулидзе Д. Г., Чилая Г. С., Бродзели М. И. // Квантовая электрон. 1979. Т. 6. С. 1271–1277.
- [2] Stephen B., Jacobs D. // SPIE. Polarizers and Applications. 1981. Vol. 307. P. 98–105.
- [3] Думаревский Ю. Д., Коштонюк Н. Ф., Савин А. И. Преобразование изображений в структурах полупроводник–диэлектрик. М.: Наука, 1987. 176 с.
- [4] Владимирос Ф. Д., Грознов М. А., Покровский В. П. // Тез. докл. I Всесоюзн. конф. «Теоретическая и прикладная оптика». Л., 1984. С. 122–123.
- [5] Картузянский А. Л. Несеребряные фотографические процессы. Л.: Химия, 1984. 375 с.
- [6] Владимирос В. Л., Грознов М. А., Еременко А. С. и др. // Квантовая электрон. 1985. Т. 12. № 10. С. 2071–2076.
- [7] Плетнева Н. И., Моричев И. Е., Владимирос Ф. Л., Басяева Л. И. // Квантовая электрон. 1983. Т. 10. № 9. С. 1892–1895.
- [8] Аракелян С. М., Чилингарян Ю. С. Нелинейная оптика жидких кристаллов. М.: Наука, 1984. 360 с.
- [9] Харченко А. А., Мыльников В. С. // Письма в ЖТФ. 1976. Т. 11. Вып. 6. С. 280–283.
- [10] Аракелян С. М., Каюян А. С., Чилингарян Ю. С. // Опт. и спектр. 1983. Т. 55. Вып. 4. С. 675–678.
- [11] Аверьянов В. Л., Карпова Л. Н., Коломиец Б. Т. и др. // ФТД. 1972. Т. 6. Вып. 9. С. 1709–1714.
- [12] Зельдович Б. Я., Табирян Н. В. // Квантовая электрон. 1984. Т. 11. № 12. С. 2419–2426.
- [13] Блинов Л. И. Электро- и магнитооптика жидких кристаллов. М.: Наука, 1978. 384 с.
- [14] Карслуу Г., Егер Д. Теплопроводность твердых тел. М.: Наука, 1964. 487 с.
- [15] Васильев А. А., Касасент Д., Компанец И. Н., Парфенов А. В. Пространственные модуляторы света. М.: Радио и связь, 1987. 320 с.
- [16] Bleha W. P., Lipton L. T., Grinberg J. et al. // Opt. Engineering. 1978. Vol. 17. N 4. P. 371–384.

Ленинградский механический институт

Поступило в Редакцию  
29 декабря 1987 г.

В окончательной редакции  
1 сентября 1988 г.